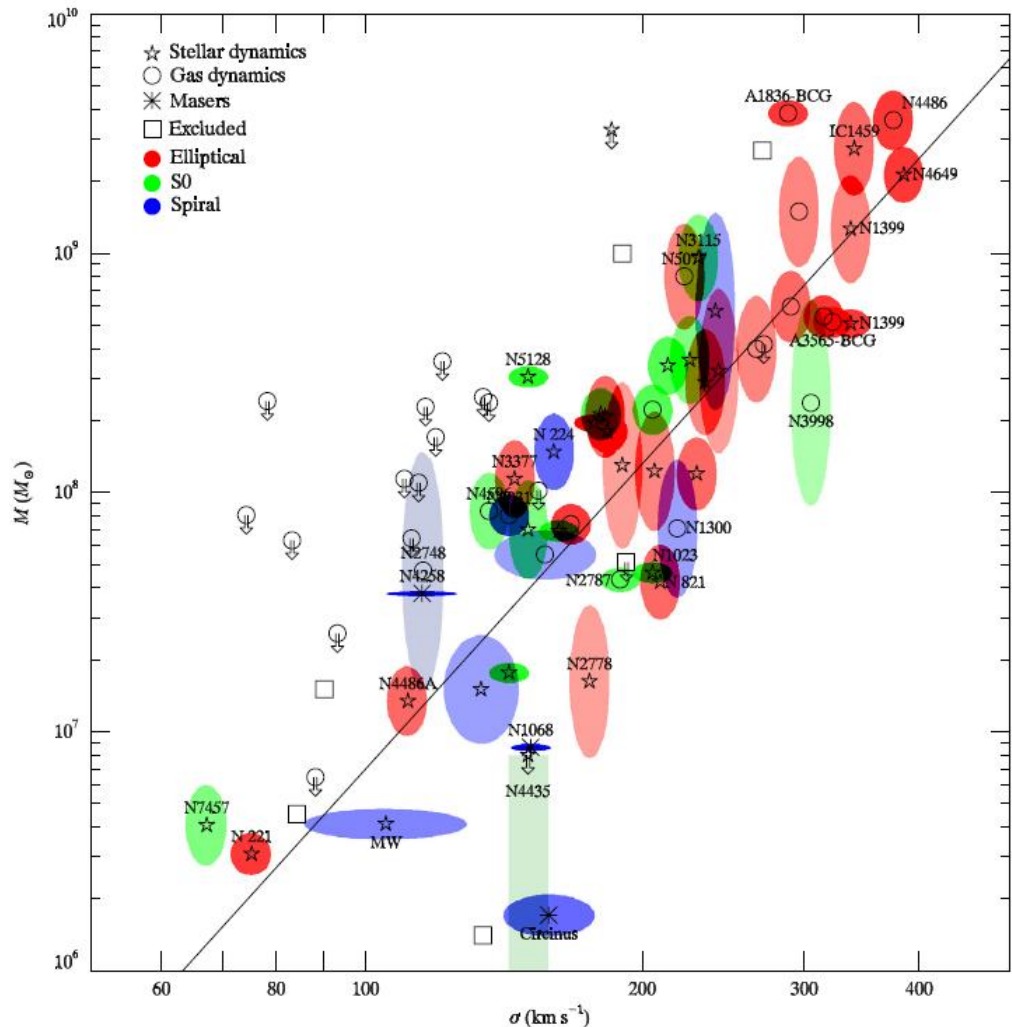


***Galaxy Zoo: The Fundamentally Different
Co-Evolution of SMBHs
and Their Early- and Late-type Host Galaxies***

Schawinski et al. 2010, ApJ, 711, 284

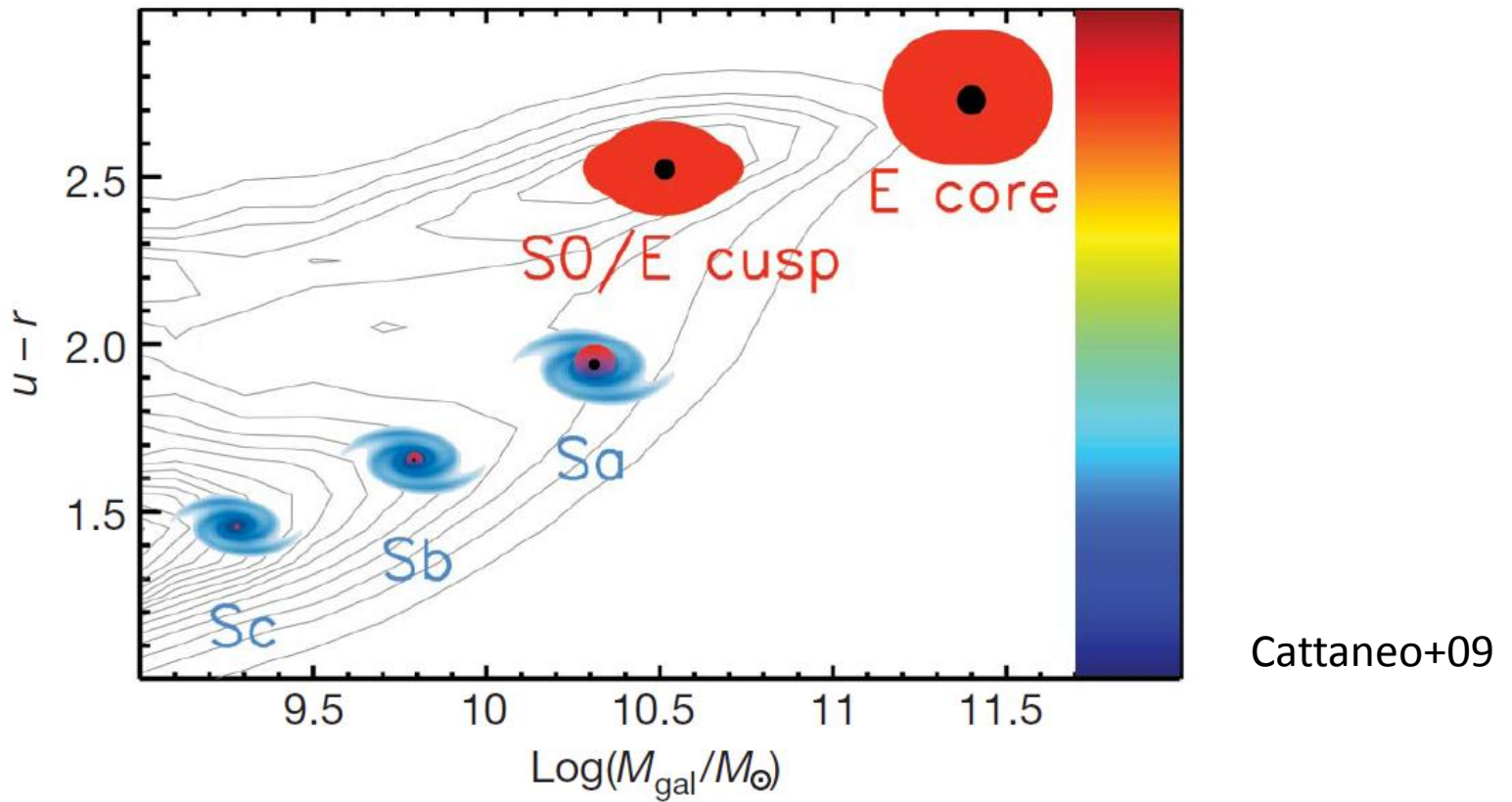
前林 隆之 (村山研究室 D2)
2012年度 院生雑誌会 2012/5/23 @大輪講

“Co-Evolution”



SMBHと母銀河バルジは共進化してきた!

Color-Mass Diagram



近傍銀河の2派閥: **Blue Cloud(BC)**, **Red Sequence(RS)**
両種族の谷間: **Green Valley(GV)**

This Work

- AGNと母銀河をつなぐ物理を知りたい.
- 母銀河の形態別に, AGNと母銀河の性質を調べる.
 - SMBH: $L[OIII]$, M_{BH} , $L[OIII]/M_{BH}$.
 - Host: u-r color, M_* , σ_* , AGN fraction.
- Late-/Early-typeでの違いが見えてきた.
- SDSSは天体数が多く, 目視による形態分類がムリ.
 - Manual inspection(Color, Concentration).
 - Visual inspection(Galaxy Zoo project).

~Number Fraction, Time Fraction~

- 院生という種族:
 - 各院生の生活時間帯はランダム.
 - 各院生のスケジュールは無相関.
 - 院生は、1日計8時間机に向かって研究する.
- 部屋を覗いた際、机に向かっている院生は何人期待されるか: $N_{\text{exp}} = 330 \text{人} \times (8\text{h}/24\text{h}) = 110 \text{人}.$
- では $N_{\text{obs}} = 80 \text{人}$ だったら、院生の典型的な研究時間は:
 $x_{\text{exp}} = 24\text{h} \times (N_{\text{obs}}/330 \text{人}) = 5.8 \text{ h}.$
- 院生が active に研究する時間の割合(duty cycle):
 $\text{duty cycle} = 5.8\text{h}/24\text{h} = 0.24 \text{ or } 24\%.$

$$\xrightarrow{} = N_{\text{obs}}/N_{\text{total}} \rightarrow \text{Number fraction}$$

Galaxy Selection

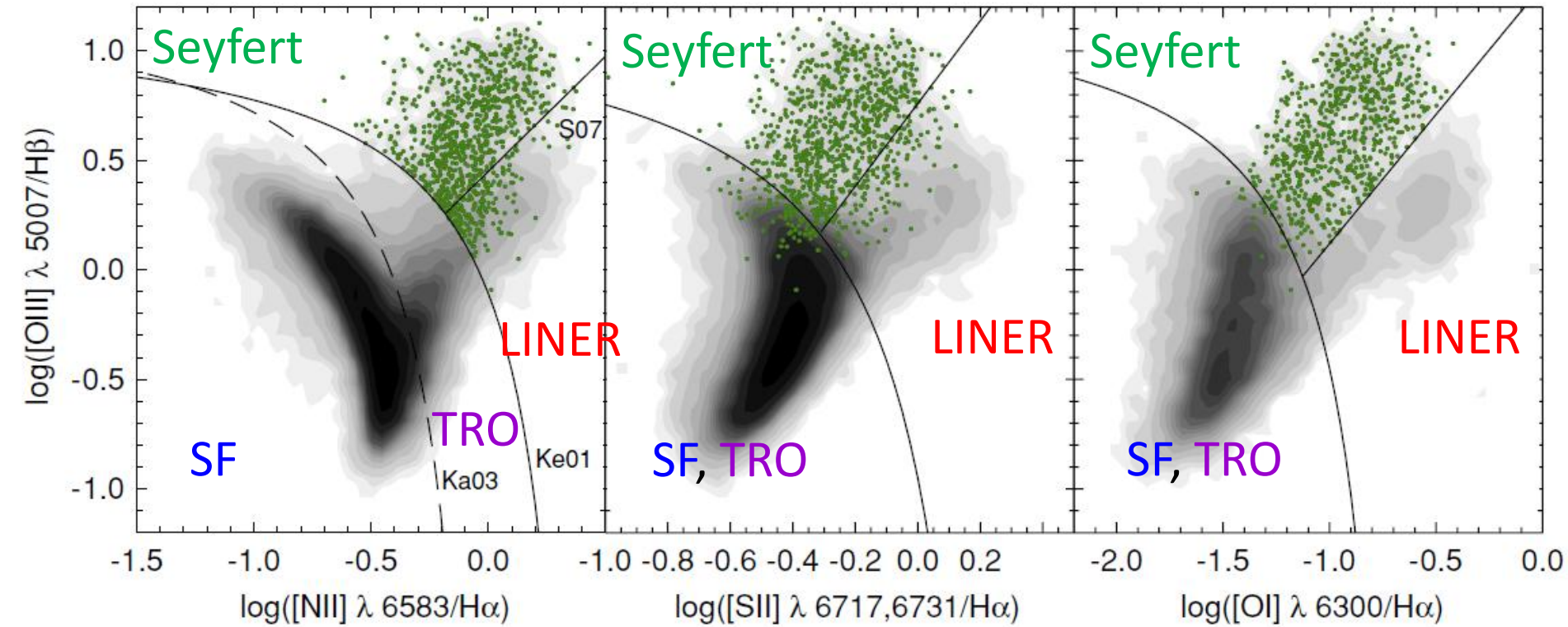
- Catalog:
 - SDSS DR7, 分光タイプ“GALAXY”.
- Selection criteria:
 - $0.02 < z < 0.05$ ($\rightarrow 1.2\text{-}1.9 \text{ kpc in } 3''$)
 - $r < 17 \text{ AB mag}$,
 - $M_{z,\text{Petro}} < -19.5 \text{ AB mag}$,
- 47675 galaxies.
 - 16246 Late-type, 22483 Indeterminate, 8928 Early-type.
 - Late/Earlyには、市民投票の80%以上の一致を要求.

Observational quantities

- σ_* , M_{BH} :
 - 分光データから σ_* を求める.
 - M_{BH} は, M - σ 関係を使って焼き直しただけ.
- M_* :
 - u, g, r, i, z に, 星種族合成モデルでスペクトルフィット.
 - 母銀河の全星質量.
- $u-r$:
 - K補正はせず, 引いただけ.
- 各輝線のフラックス:
 - 分光データから….
 - $L[\text{OIII}]$ には, dust extinctionの補正をしてある.

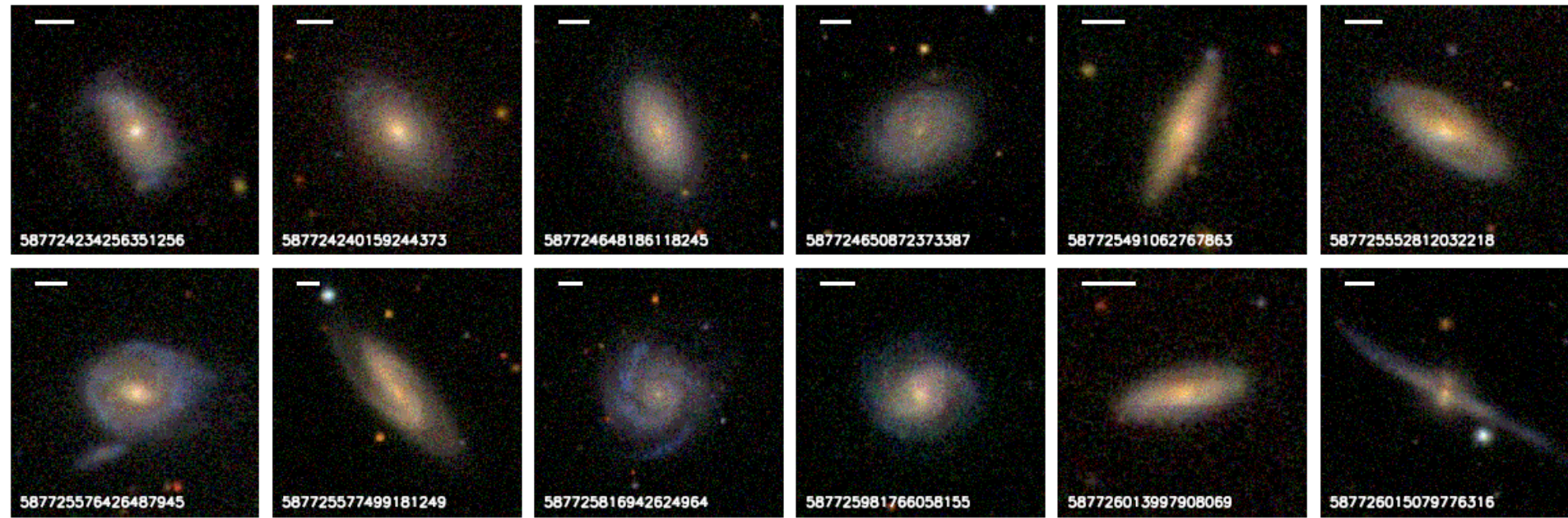
AGN Selection

942/47675天体.



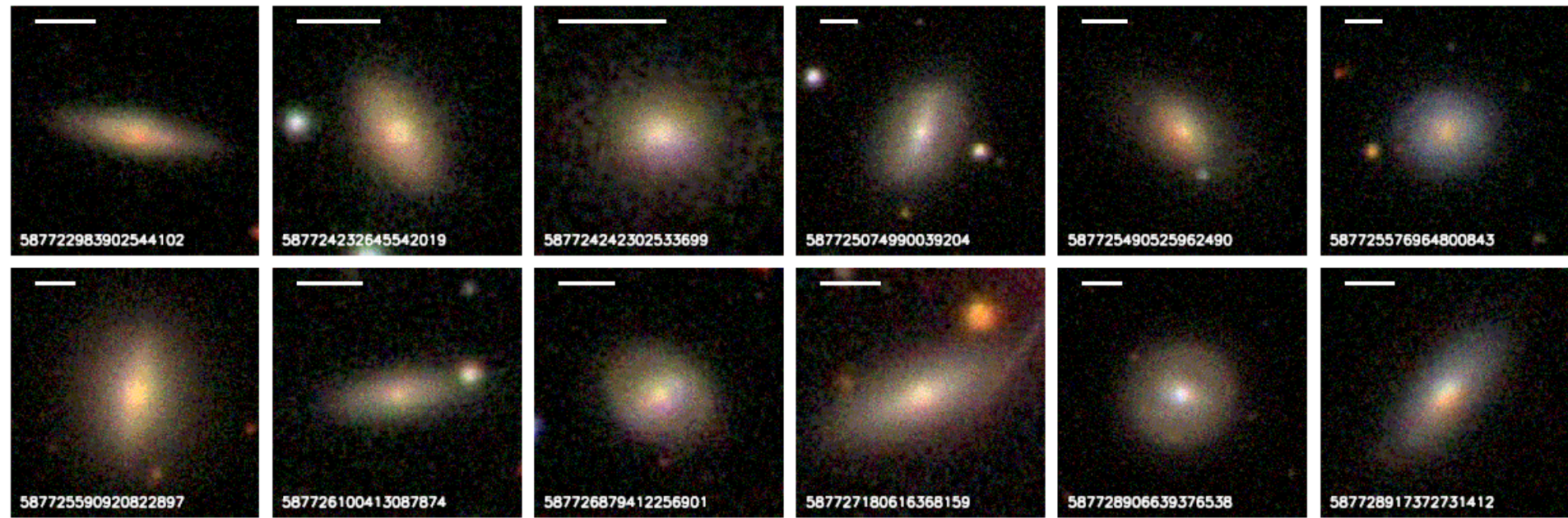
輝線診断: Seyfert classのみAGNとして扱う.
SF, TROは、OB star起源の輝線が混ざるから除外.
LINERは、post-AGB star起源が疑われるから除外.

Late-type AGN host



White bar -> 5kpc.

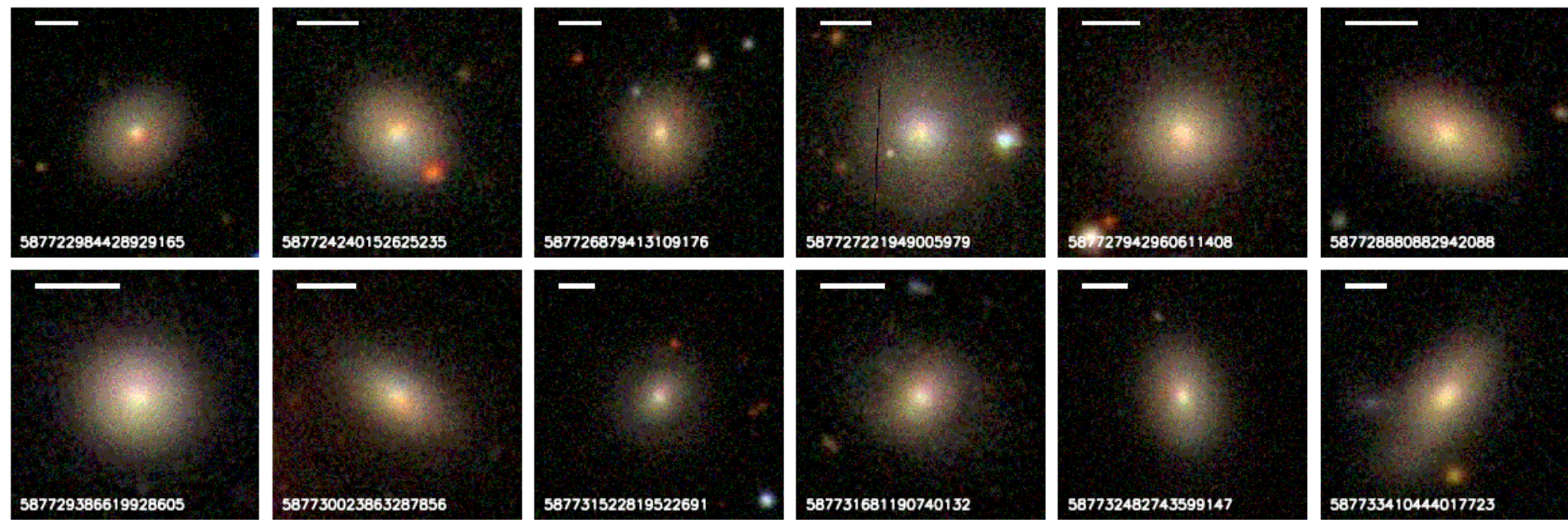
Indeterminate AGN host



White bar -> 5kpc.

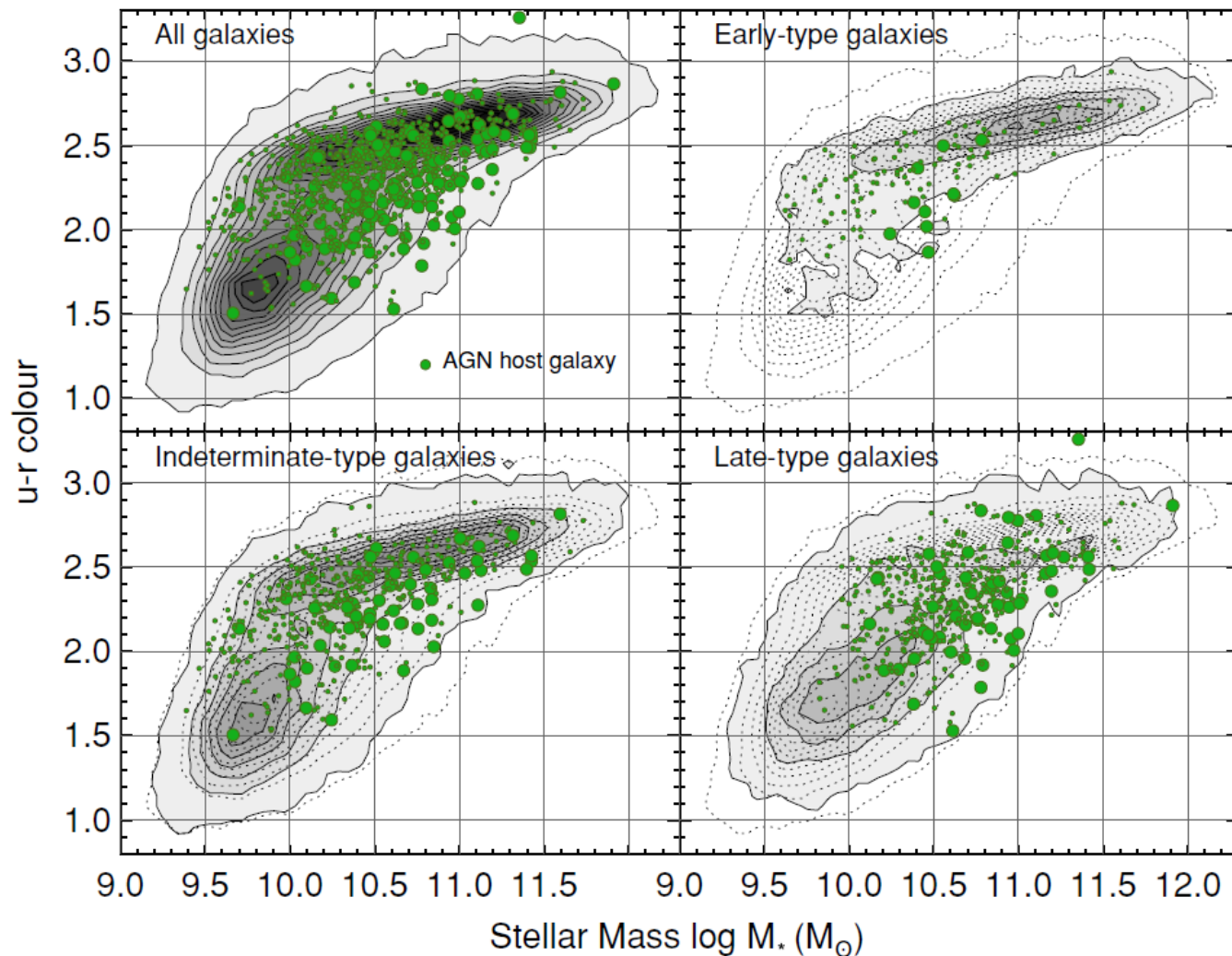
Intermediateでなく, indeterminate.

Early-type AGN host



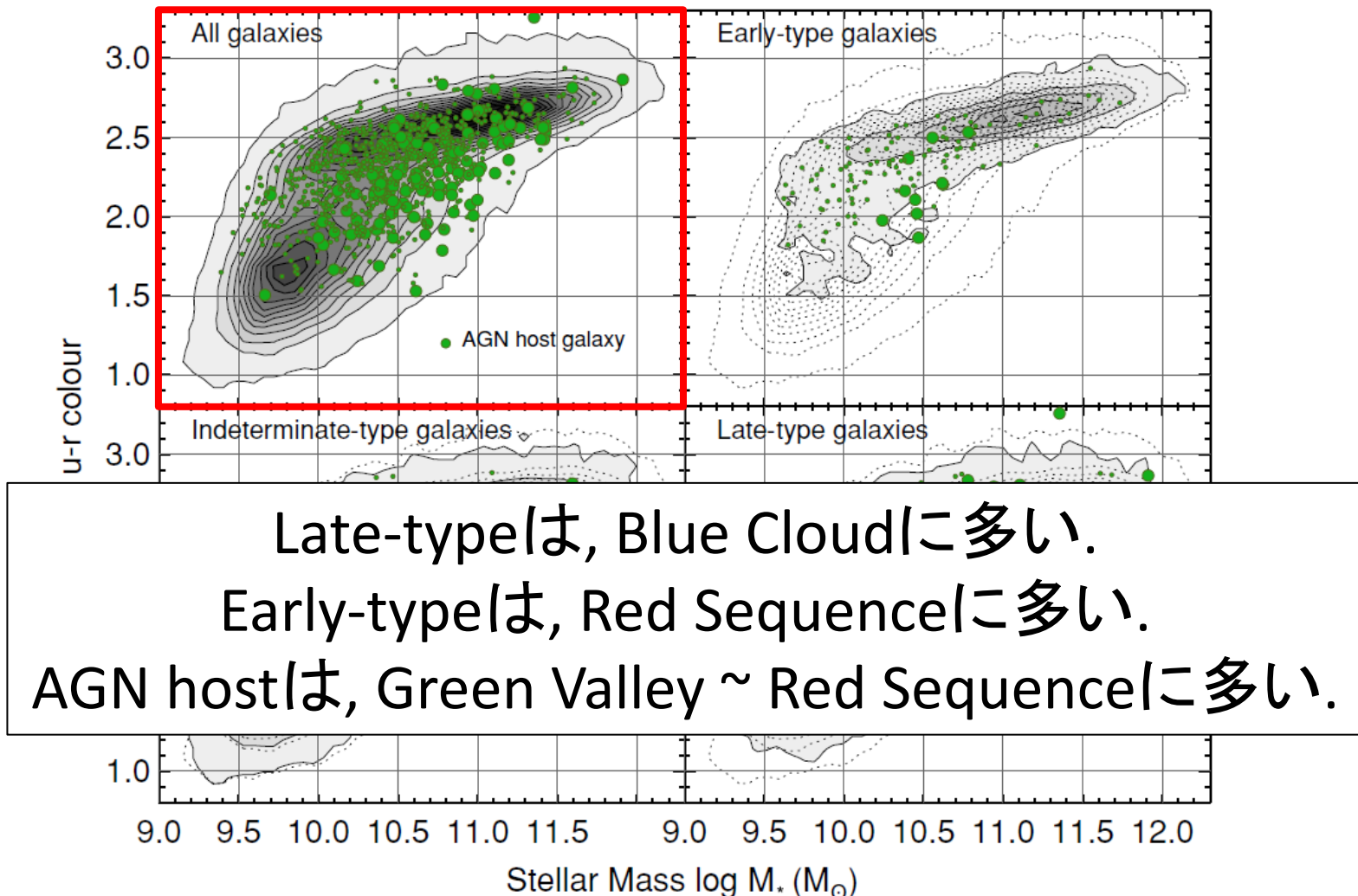
White bar -> 5kpc.

Color-Mass Distribution 1



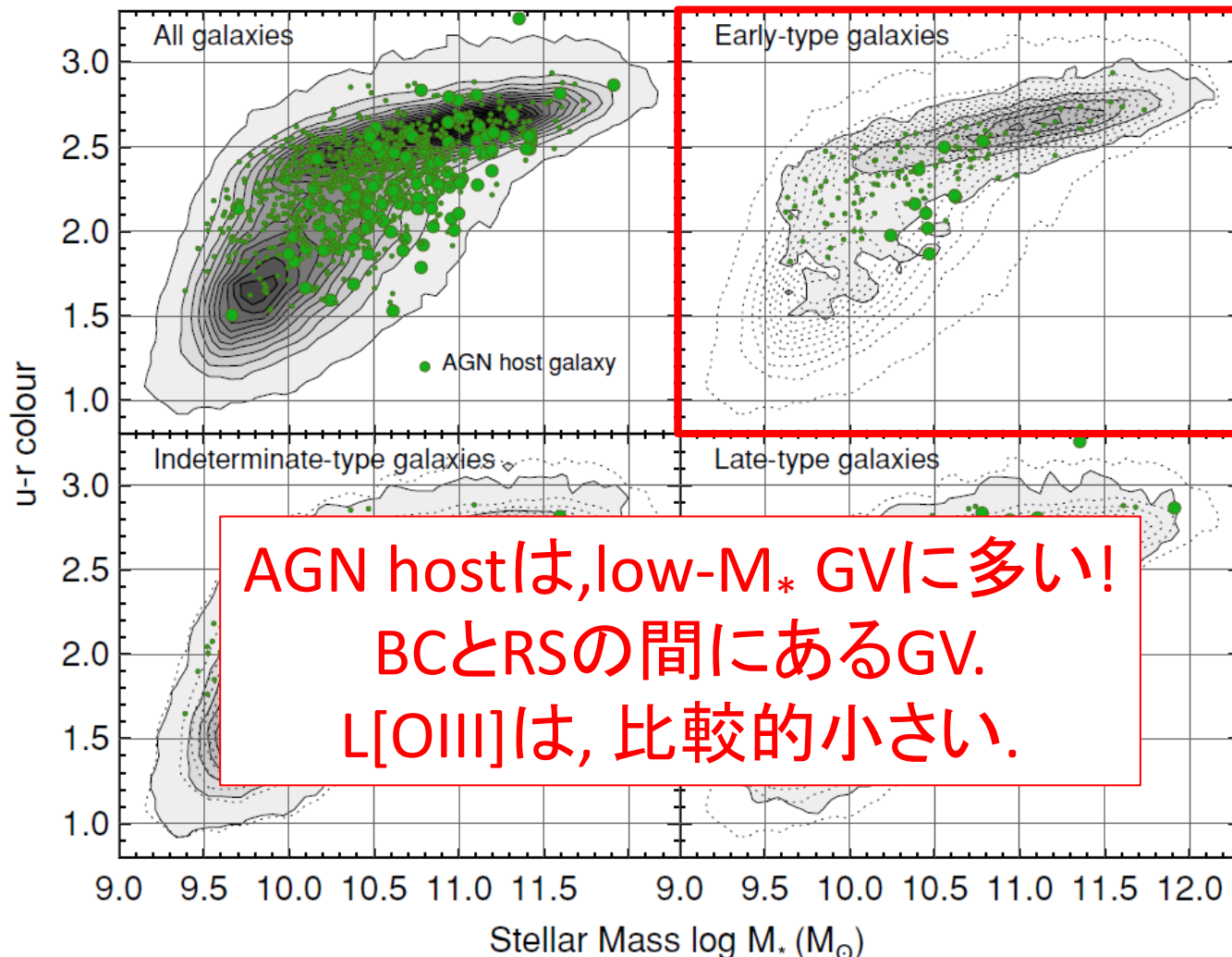
大丸: $L[OIII] > 10^{41}$ erg/s, 小丸: $L[OIII] < 10^{41}$ erg/s.

Color-Mass Distribution 1



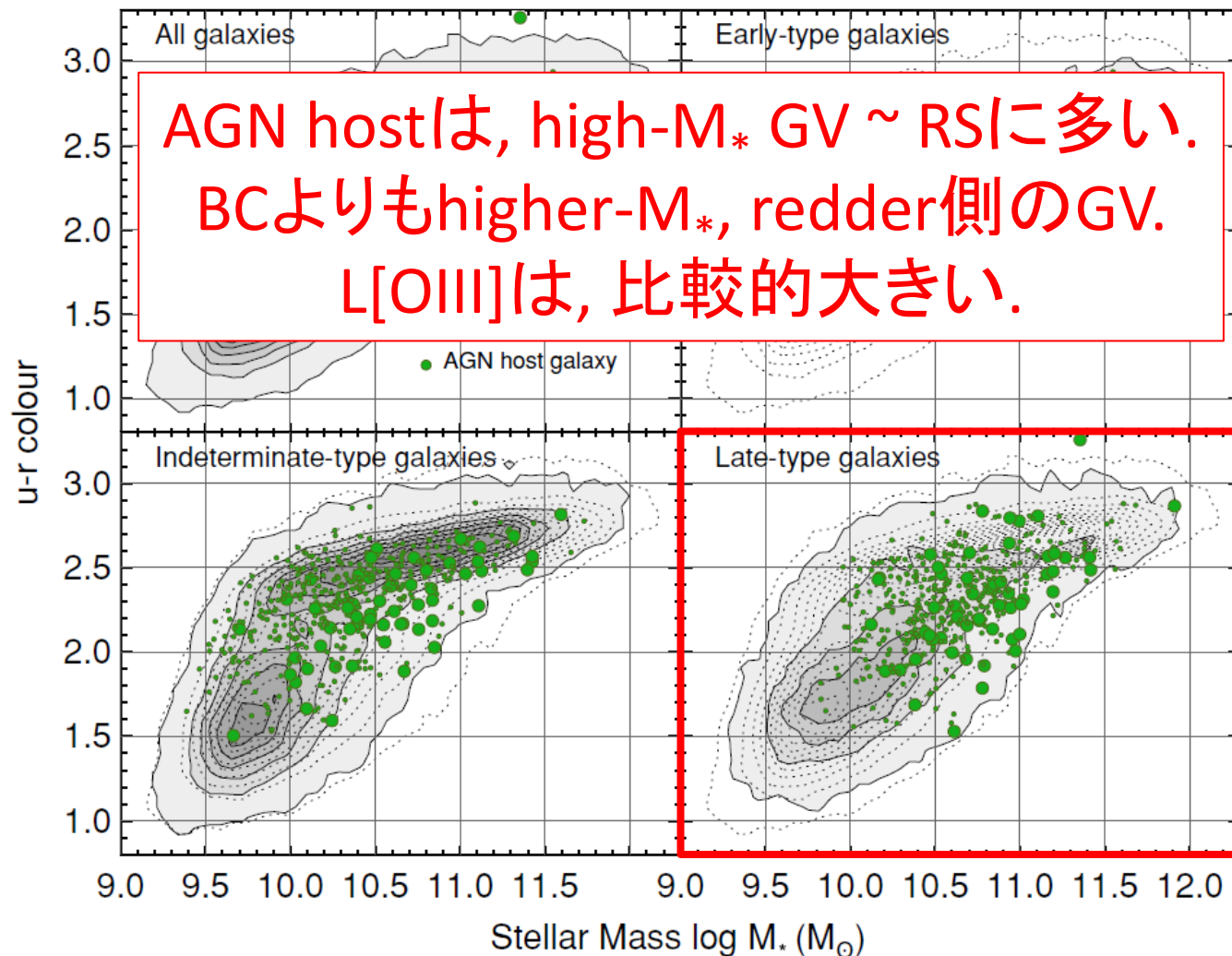
大丸: $L[OIII] > 10^{41}$ erg/s, 小丸: $L[OIII] < 10^{41}$ erg/s.

Color-Mass Distribution 1



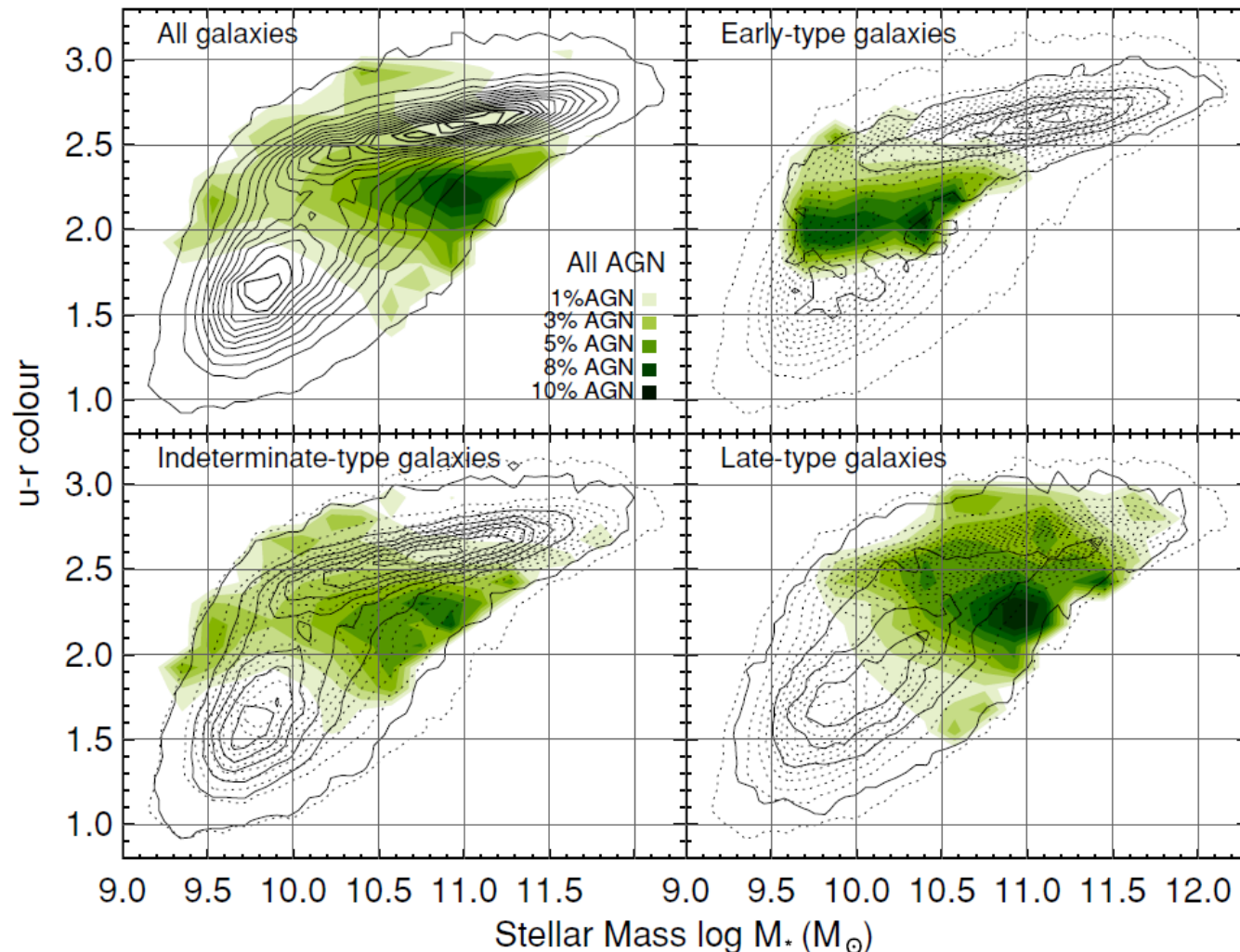
大丸: $L[\text{OIII}] > 10^{41} \text{ erg/s}$, 小丸: $L[\text{OIII}] < 10^{41} \text{ erg/s}$.

Color-Mass Distribution 1



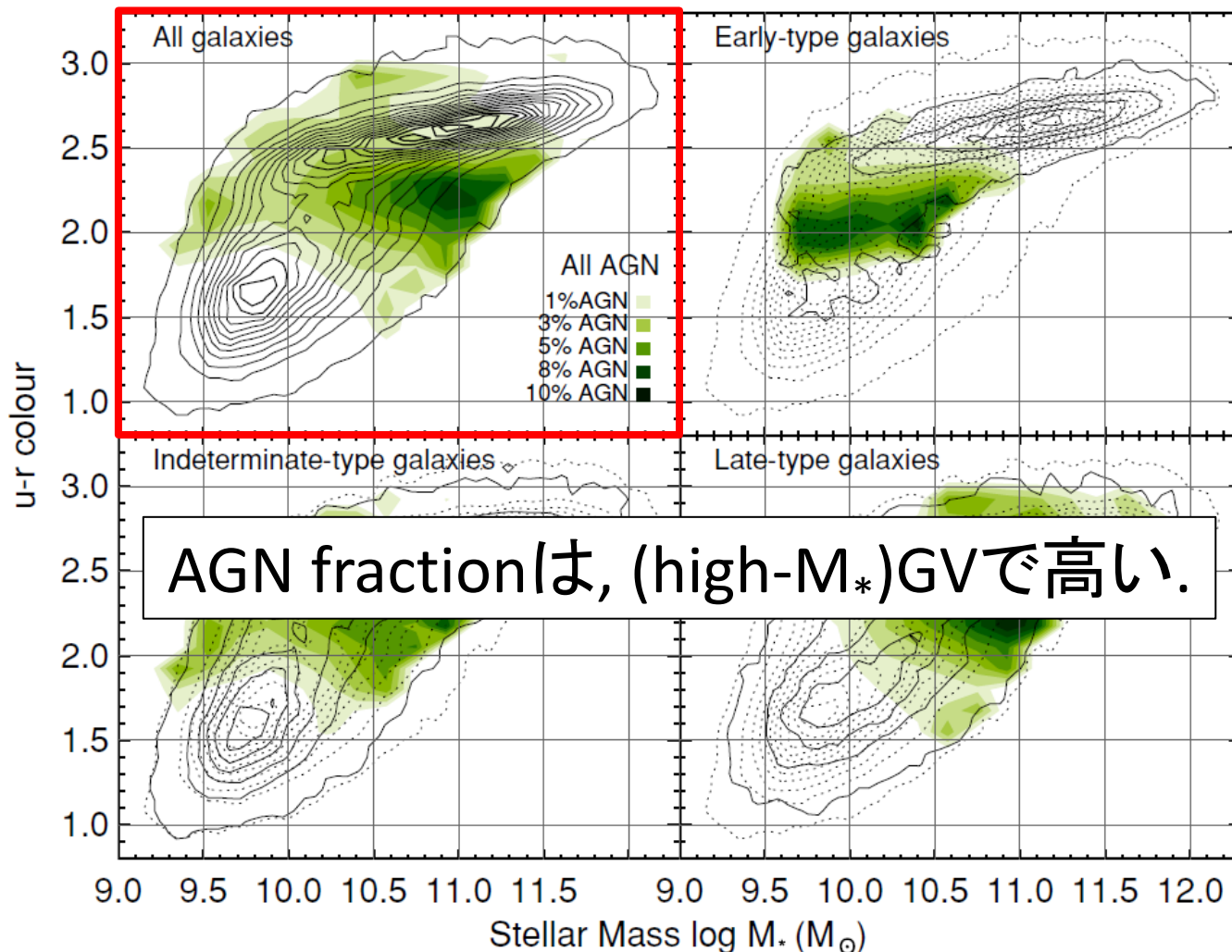
大丸: $L[\text{OIII}] > 10^{41} \text{ erg/s}$, 小丸: $L[\text{OIII}] < 10^{41} \text{ erg/s}$.

Color-Mass Distribution 2



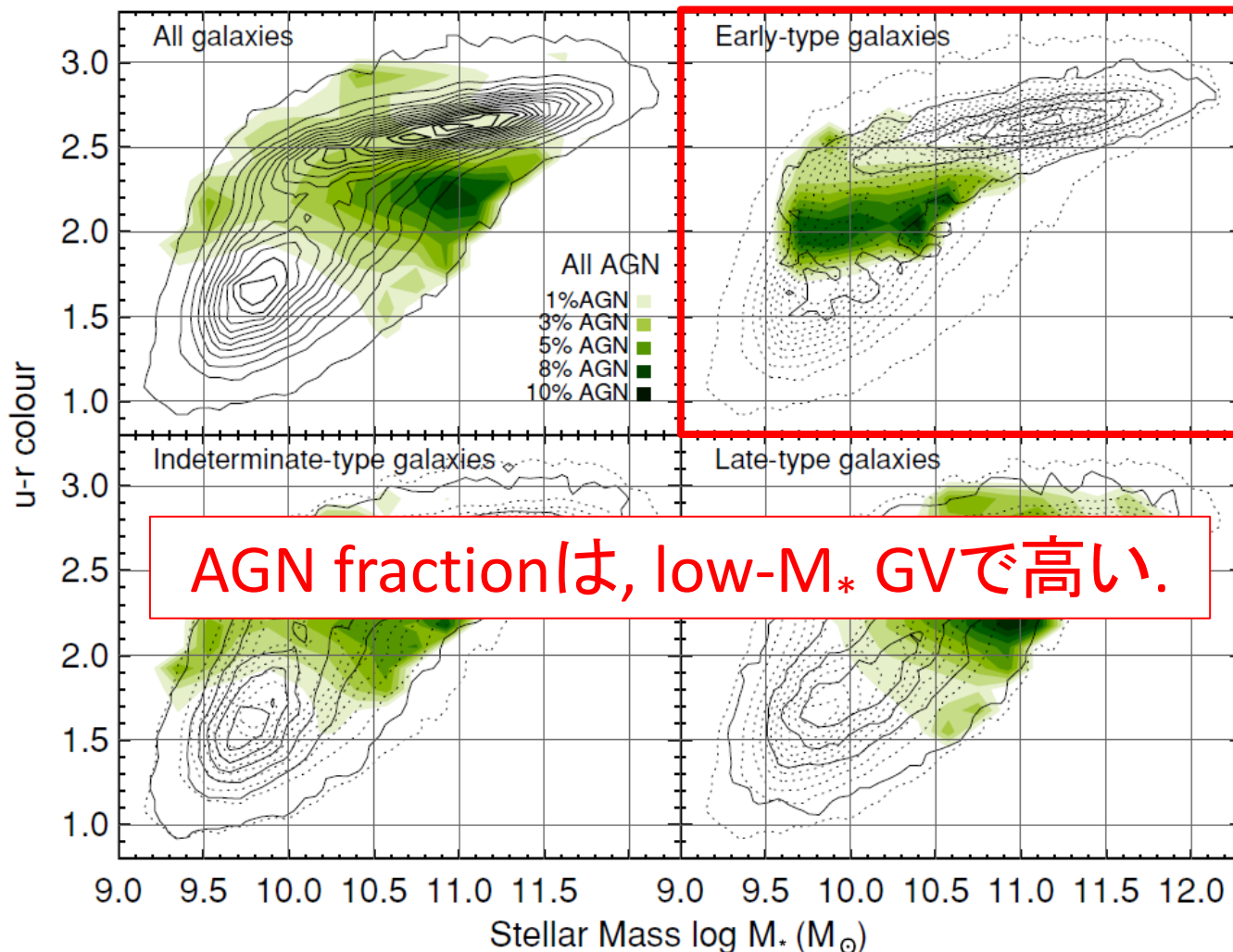
AGN fraction = Seyfert/galaxy total

Color-Mass Distribution 2



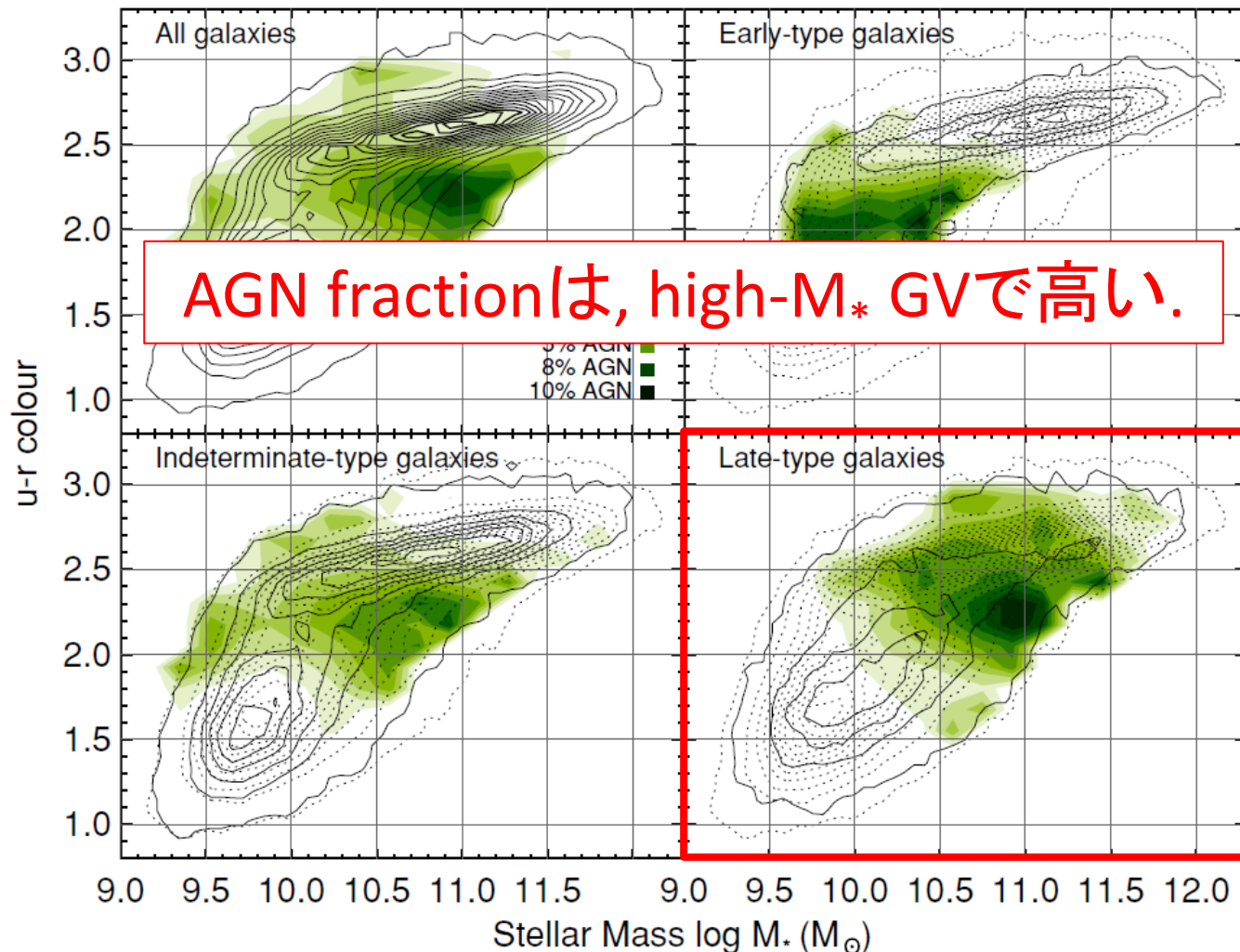
AGN fraction = Seyfert/galaxy total

Color-Mass Distribution 2



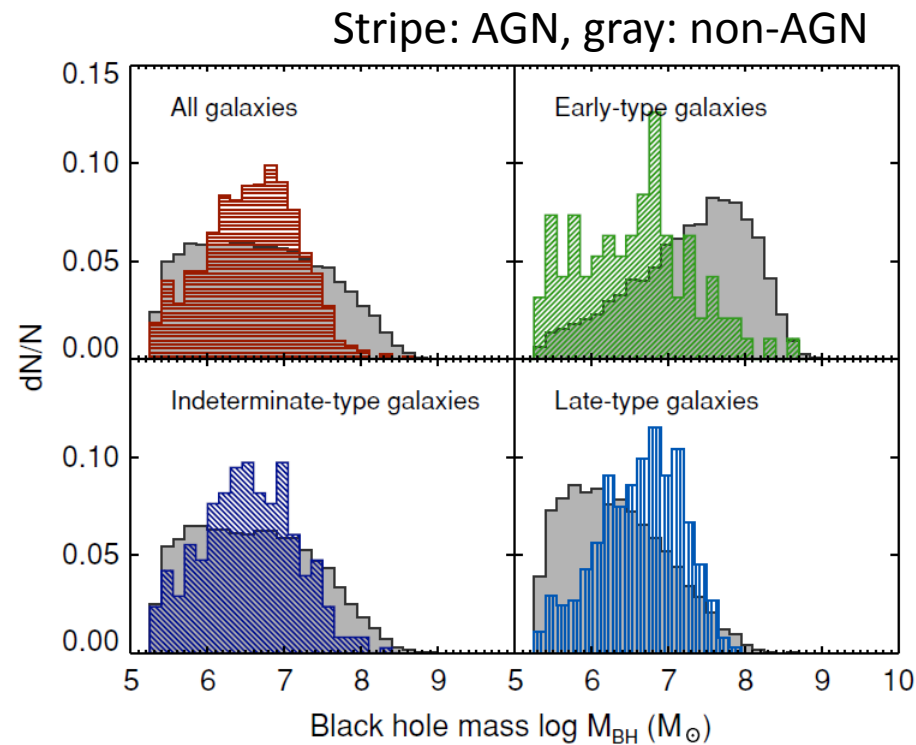
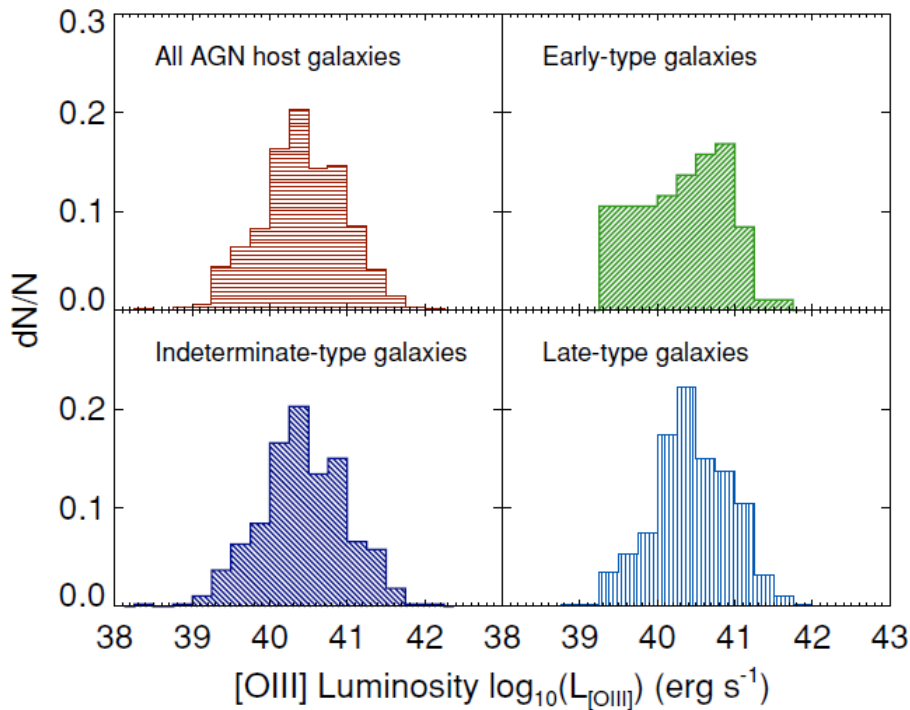
AGN fraction = Seyfert/galaxy total

Color-Mass Distribution 2



AGN fraction = Seyfert/galaxy total

$L[\text{OIII}], M_{\text{BH}}$ distribution



典型値は、同程度(但し、分布は異なる).
 M_{BH} は、Late-typeの方がやや重い?

Summary of Figs.

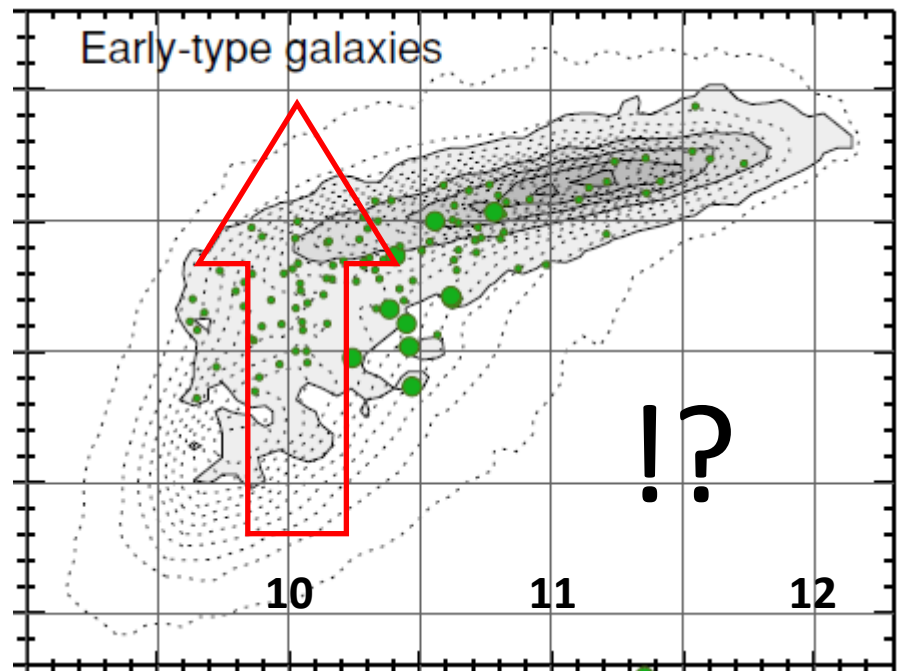
- Late-type:
 - High- M_* Green Valley ~ Red Sequenceに多い.
 - High- M_* Green Valleyでduty cycleが高い.
 - L[OIII] 大, high Eddington ratioでのduty cycleが低い.
- Early-type:
 - Low- M_* Green Valleyに多い.
 - Low- M_* Green Valleyでduty cycleが高い.
 - L[OIII] 中, high Eddington ratioでのduty cycleが高い.
- M_{BH} , L[OIII], L[OIII]/ M_{BH} :
 - 典型値は, Late-/Early-typeとともに同程度.
 - 分布は異なる.

Co-evolution in Early-type

- **Blue-to-Red transition:**

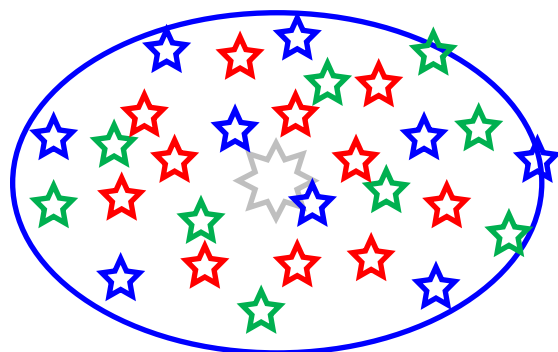
- SFが止む(@BC) -> AGN発動(@GV) -> 老いた星のみ(@RS)
- AGN放射によって, SFが止まった?(AGN feedback)
- SFが止まった直後に, AGNが光り出す?(AGN fueling/trigger)
- SF -> AGNには, $\Delta t \sim 100-500$ Myrのラグがある.

Low- M_* GVの上下に,
BCとRSがいる事が決め手.

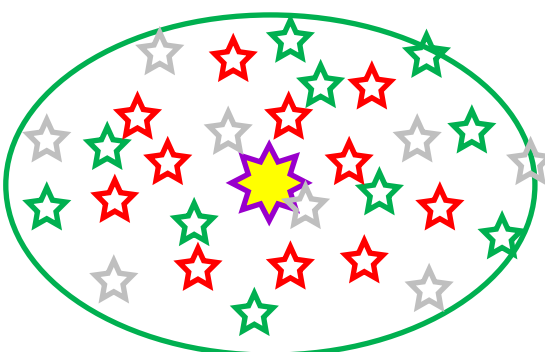


Co-evolution in Early-type

Blue-to-Red transition in low- M_* early-type galaxy



@ Blue cloud



@ Green Valley



@ Red Sequence



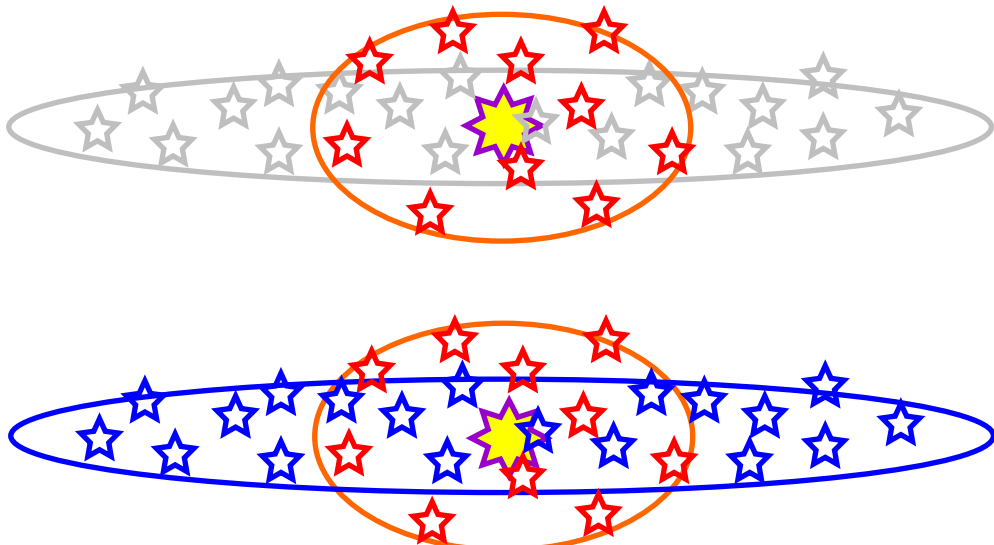
AGN host!!



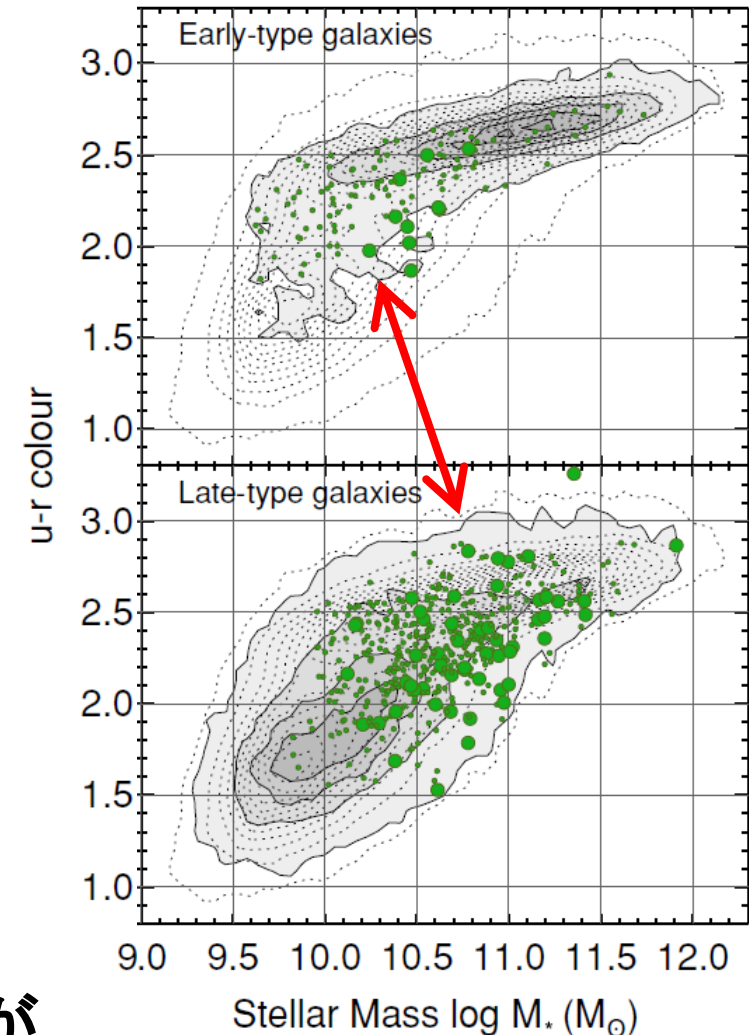
~100-500 Myr.

One explanation of M_* difference.

Early-/Late-type AGN host



$M_{*, \text{bulge}}$ $\sim 10^{10} M_\odot$ -> SMBHと関係?
 $M_{*, \text{disk}}$ $\sim 10^{10-11} M_\odot$ -> ???



Late-type AGN hostでは, stellar diskが
 $10^{10-11} M_\odot$ まで育ちつつ, green colorでAGNが発動する?

Co-evolution(?) in Late-type

✗ Late + Late major merger:

<- 物質を落とす事ができるので, AGNが絡む!

Diskより育て!!

<- diskが残らない.

<- Late+Lateでは, 青くなってしまう.

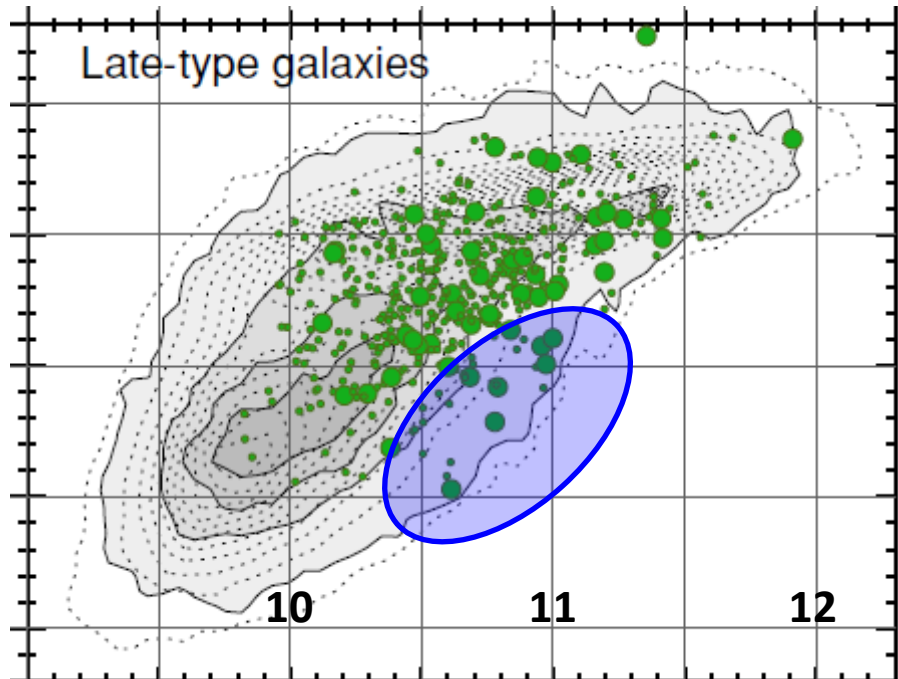
High- M_* , blue late-typeは少ない.

- Green color
- Disk dominated
- Host mass $M_* \sim 10^{11} M_\odot$

High- M_* GVの下に, BCがない.

Massive disk込みでgreen color.

-> Early-typeのモデルは不可.



Co-evolution(?) in Late-type

× Late + Early minor merger:

Late = $10^{10} M_{\odot}$, Early = $10^{11} M_{\odot}$

<- green colorになりそう, bulgeが卓越してしまう.

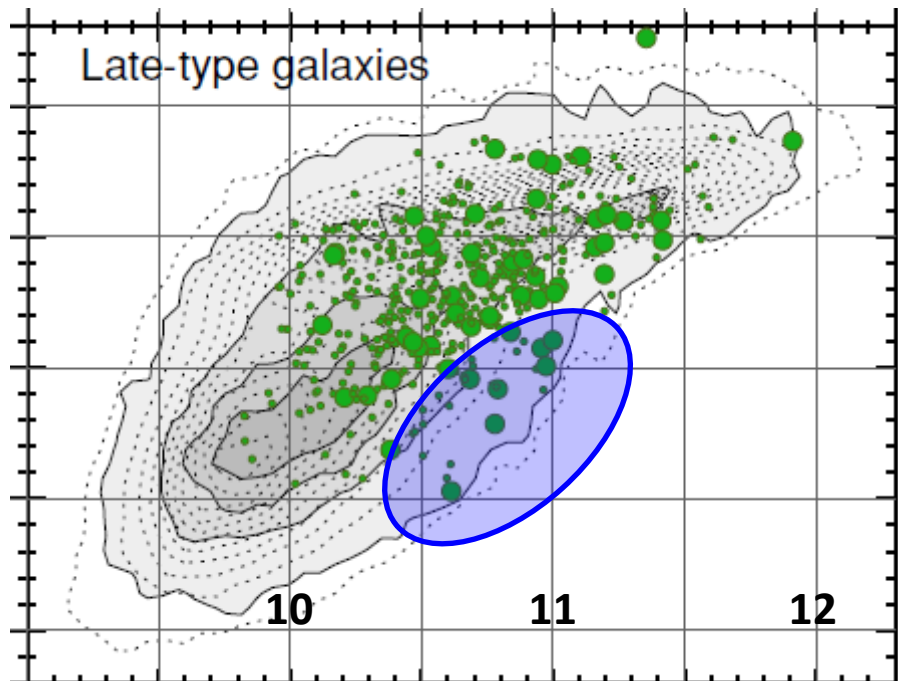
Late = $10^{11} M_{\odot}$, Early = $10^{10} M_{\odot}$

<- 青くなってしまう.

- Green color
- Disk dominated
- Host mass $M_* \sim 10^{11} M_{\odot}$

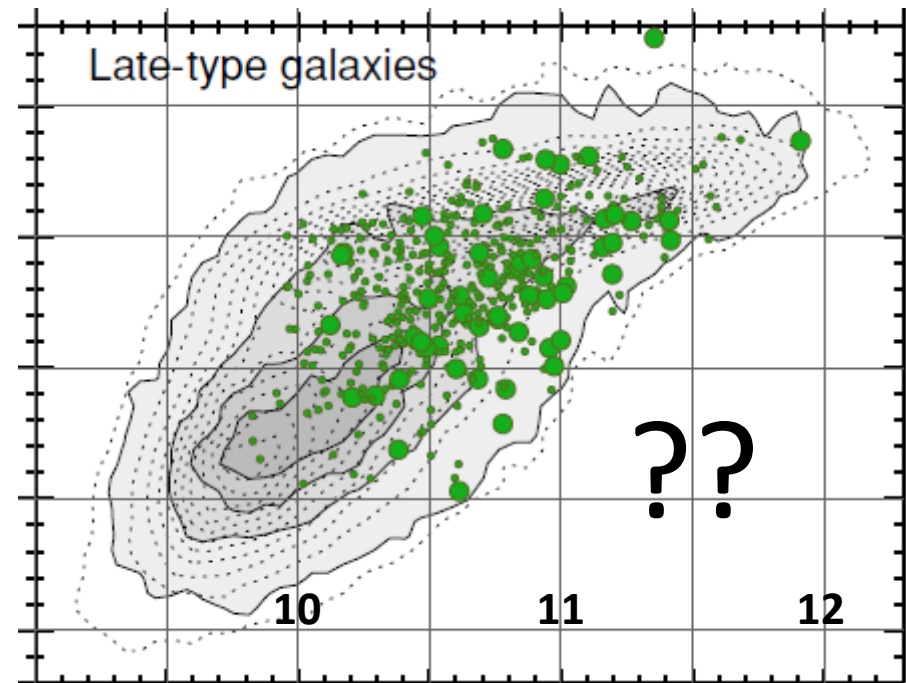
High- M_* GVの下に, BCがない.
Massive disk込みでgreen color.
-> Early-typeのモデルは不可.

High- M_* , blue late-typeは少ない.

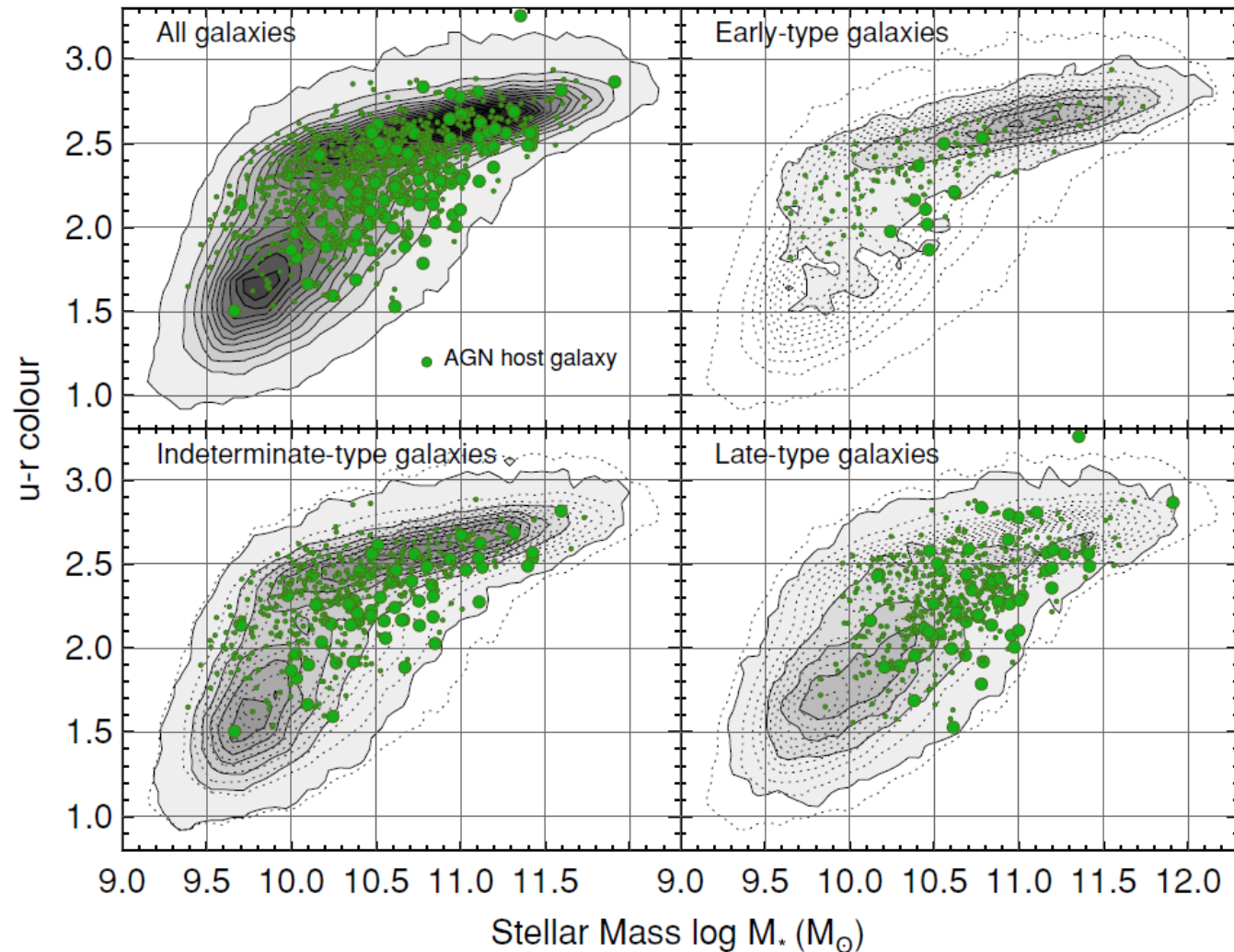


Co-evolution(?) in Late-type

AGNは、late-typeの進化には、
強く影響しないかも... .



End



Classification result

Table 1
Galaxy Morphology Statistics from Galaxy Zoo

Galaxy Morphology Class	Number	Percentage
Late type	16246	34.1
Indeterminate type	22483	47.2
Early type	8928	18.7
All	47675	100

AGN properties

Table 2
Typical [O III] $\lambda 5007$ luminosities, Eddington Ratios, and Black Hole

Host Galaxy Morphology	Number	Percentage of Host Galaxies	Mean $\log L[\text{O III}]$ (erg s $^{-1}$)	Median $\log L[\text{O III}]$ (erg s $^{-1}$)
Late types	402	42.68%	40.40	40.39
Indeterminate types	431	45.75%	40.40	40.39
Early types	109	11.57%	40.27	40.30
All	942	100%	40.38	40.38

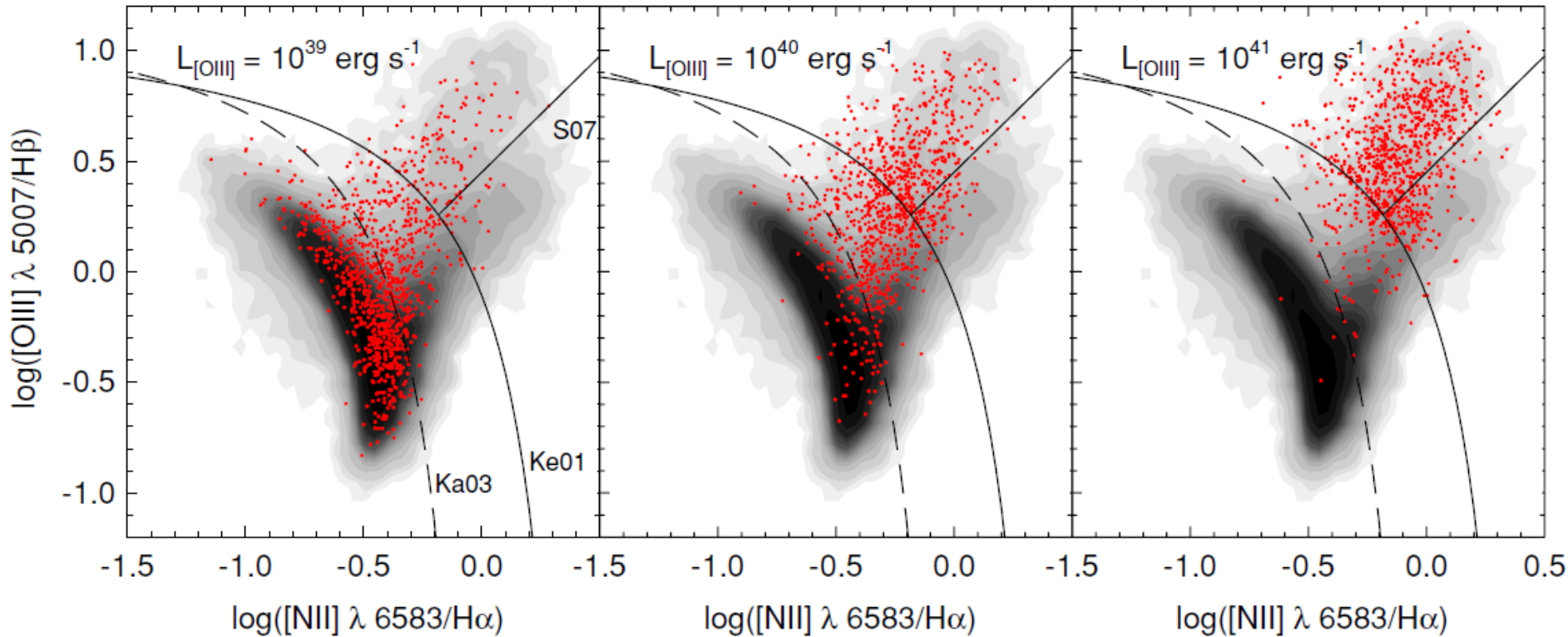
Masses of AGNs by Host Galaxy Morphology

	Mean $\log L[\text{O III}]/\sigma^4$	Median $\log L[\text{O III}]/\sigma^4$	Mean $\log M_{\text{BH}}$ (M_{\odot})	Median $\log M_{\text{BH}}$ (M_{\odot})
	0.295	0.306	6.52	6.63
	0.456	0.442	6.52	6.63
	0.326	0.397	6.36	6.45
	0.372	0.370	6.43	6.53

~Eddington Ratio~

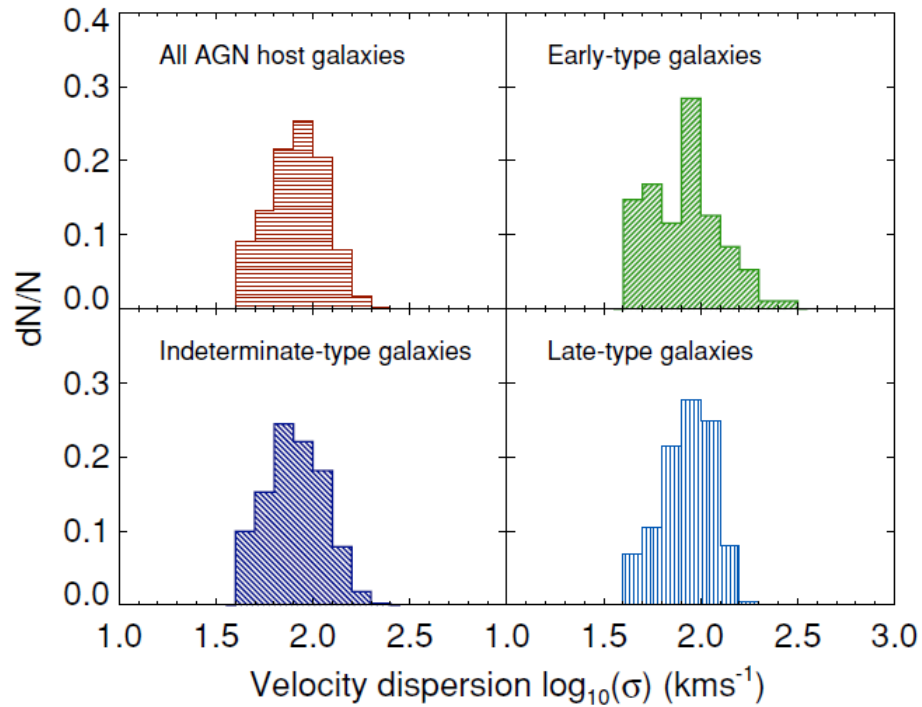
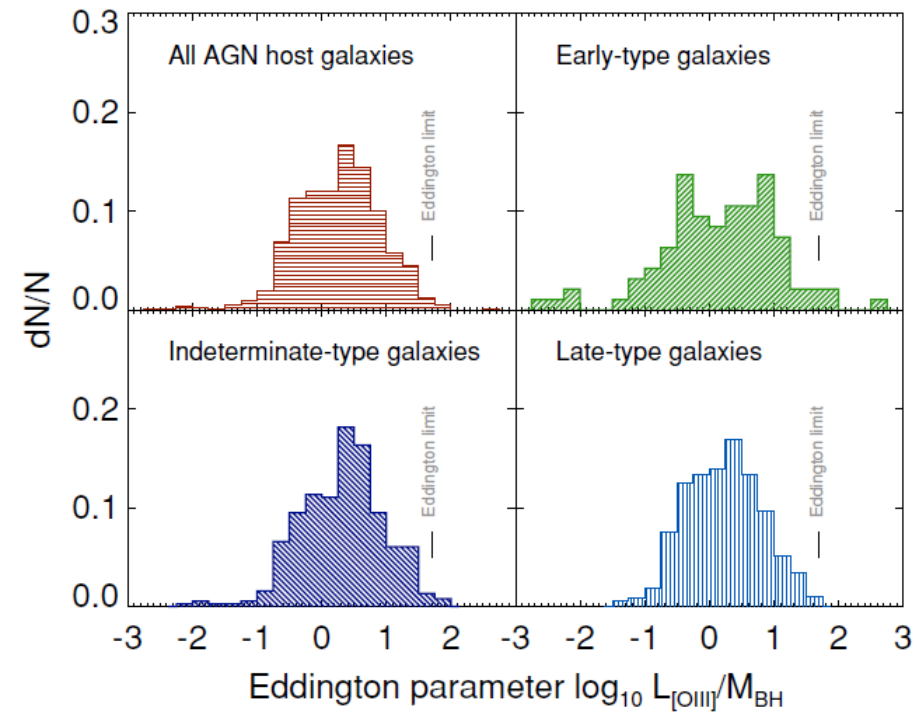
- 質量降着率をEddington限界降着率で割った量.
 - SMBHの身の丈を考慮した“相対”質量降着率.
 - $L[OIII] \propto L_{bol} \propto dM/dt$, $M_{BH} \propto dM_{Edd}/dt$ より, $L[OIII]/M_{BH}$ で代用.
- 1. 林君が, カレーを3杯/hの速さで食す.
 - 遅い! (-> Eddington ratioが低い状態)
 - この時, 降着円盤は放射不良に(RIAF/ADAF).
- 2. 私が, カレーを3杯/hで食す.
 - 普通!? (-> Eddington ratioがそこそこの状態)
 - この時, 降着円盤はよく光る(Standard accretion disk).
- 3. 小食の人が, カレーを3杯/hで食す.
 - ムリ. (-> Eddington ratioが1以上)

Completeness check

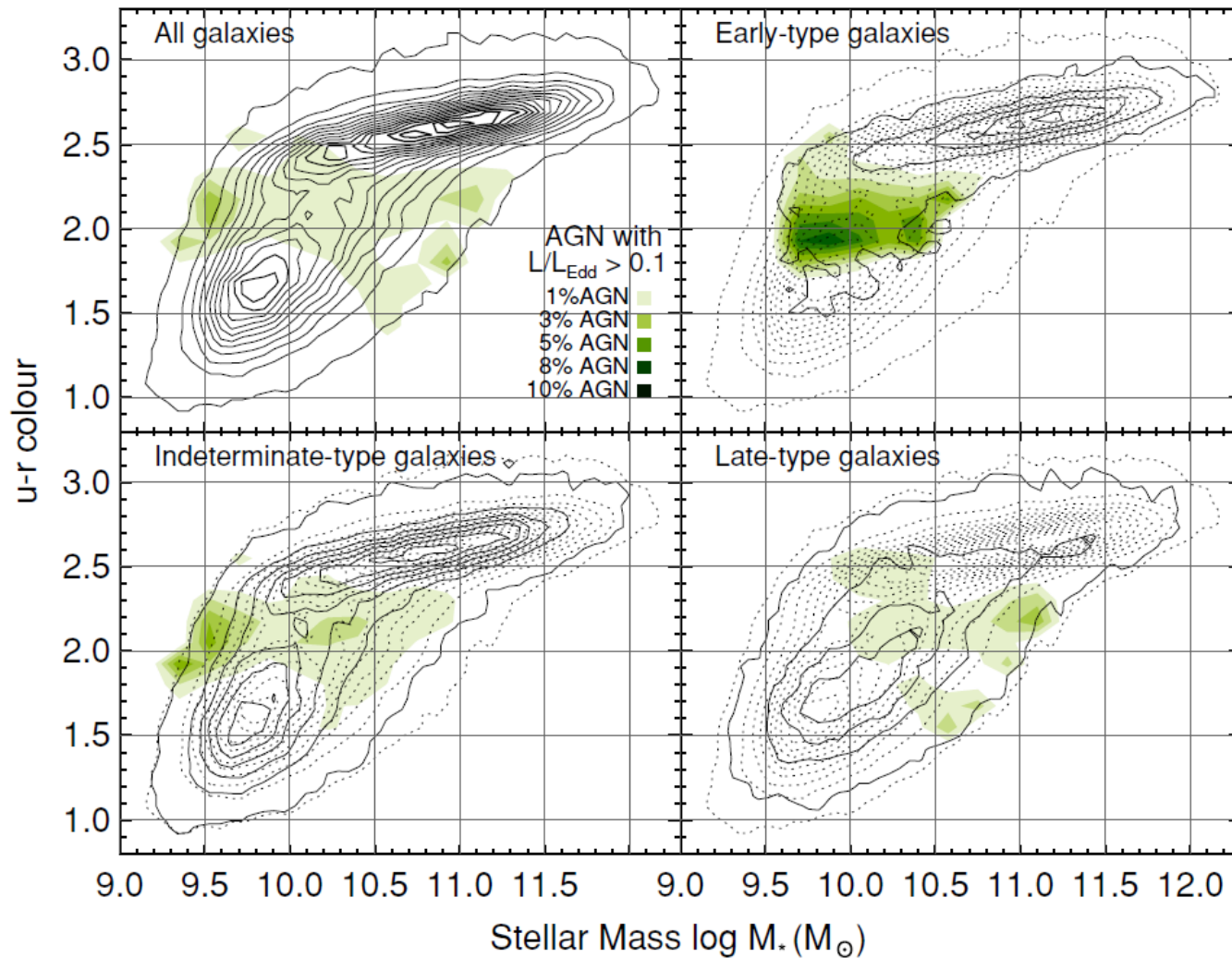


AGN起源の $L_{[OIII]}$ が、
 $L_{[OIII]} > 10^{39} \text{ erg/s}$; 14.2%はAGNに分類される-> ×
 $L_{[OIII]} > 10^{40} \text{ erg/s}$; 45.6%はAGNに分類される-> ×
 $L_{[OIII]} > 10^{41} \text{ erg/s}$; 87.1%はAGNに分類される-> ○

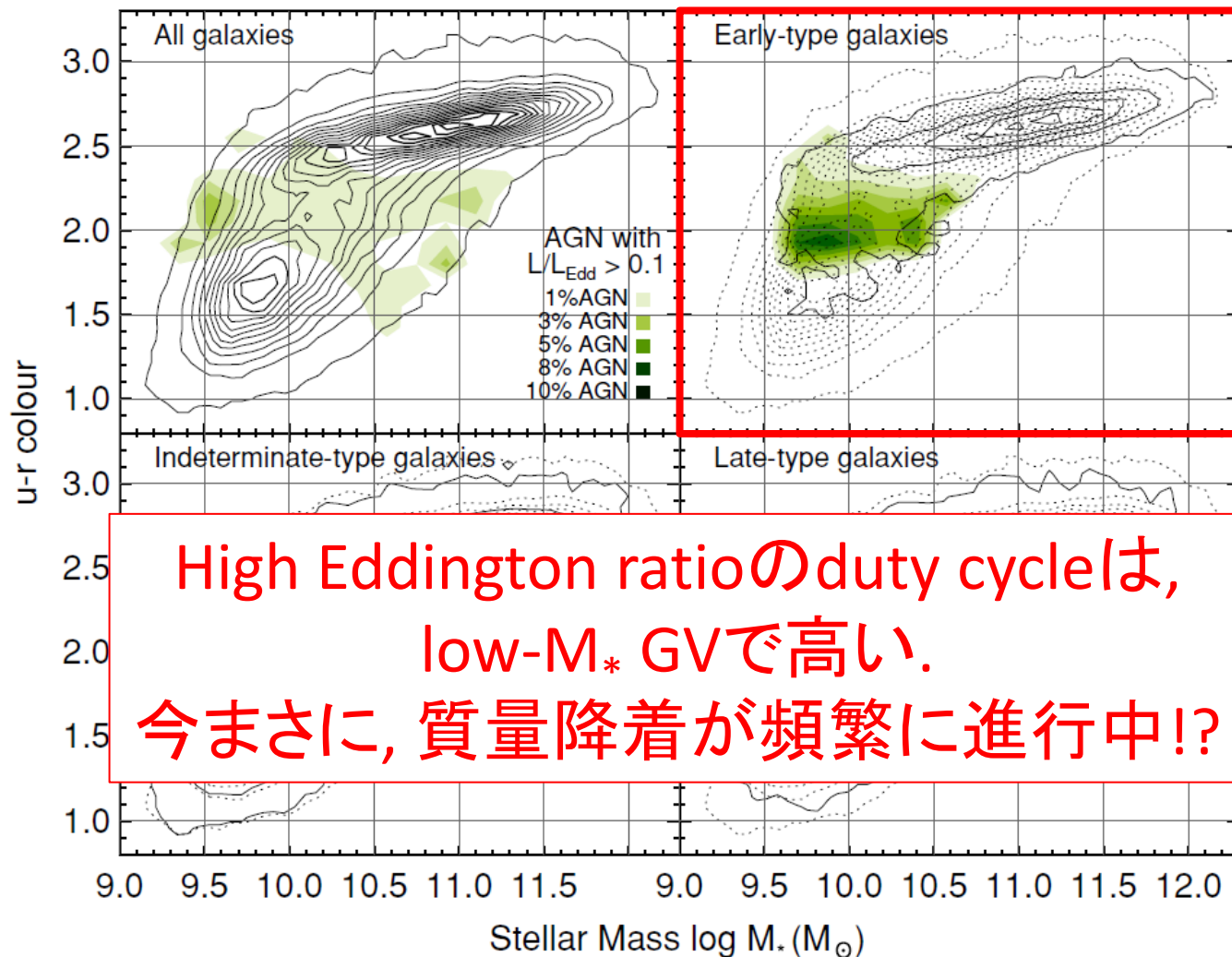
σ_* , $L[OIII]/M_{BH}$ distribution



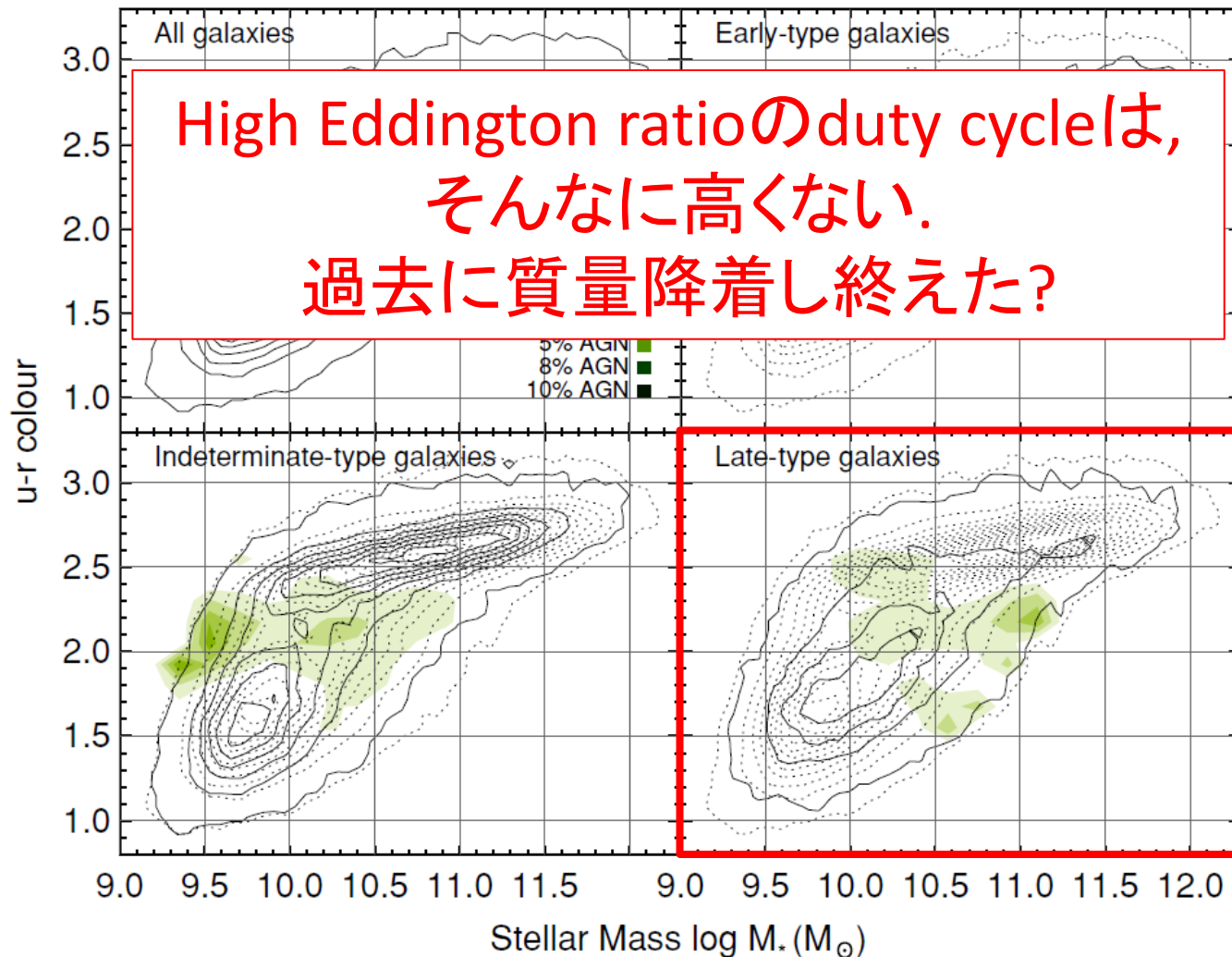
Color-Mass Distribution 3



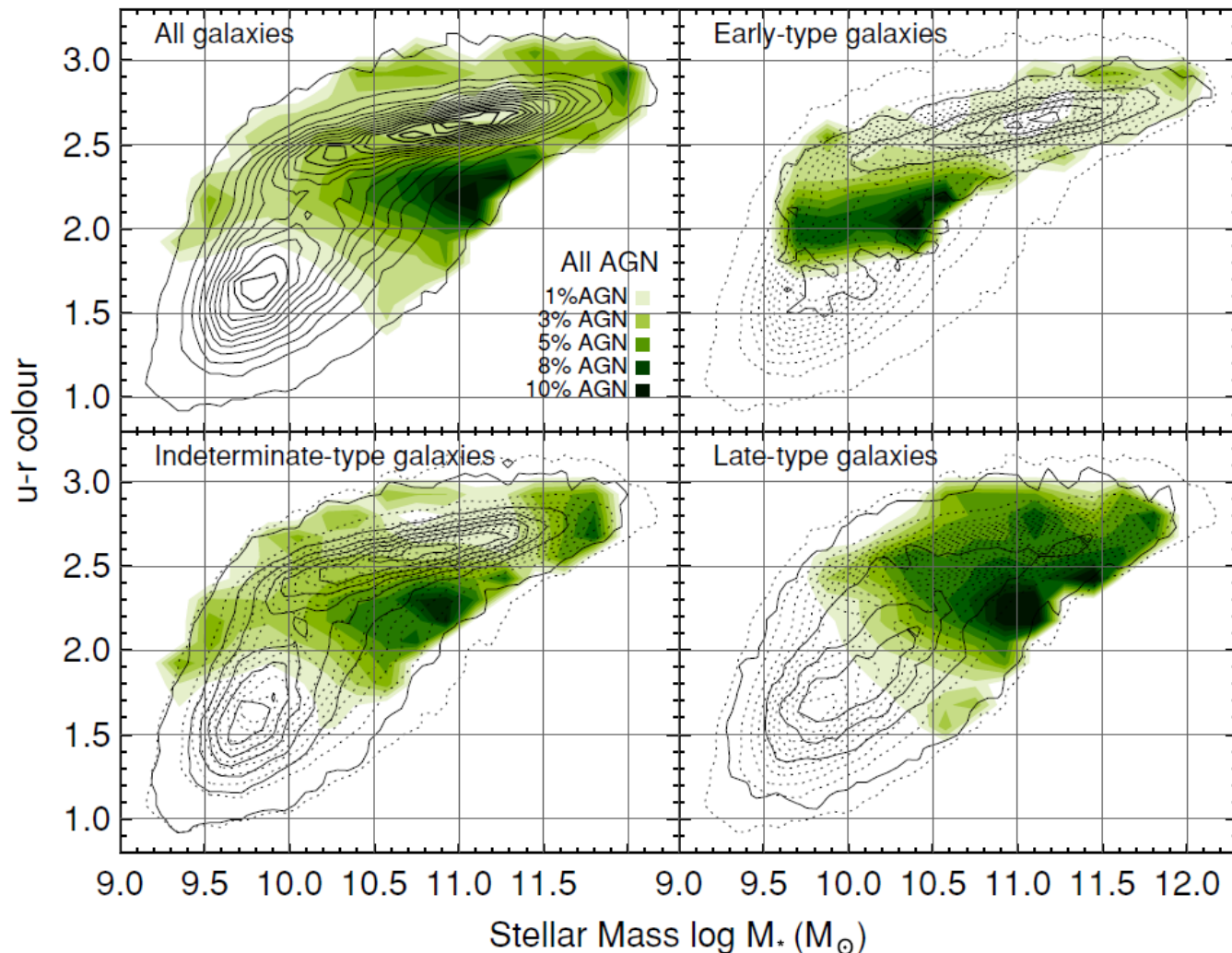
Color-Mass Distribution 3



Color-Mass Distribution 3



Color-Mass Distribution 4



AGN = Seyfert + LINERとした場合のAGN fraction map.